

# مطالعه اثر زمان تجدید حیات دیودهای $P\pi N$ روی مقدار ولتاژ خروجی چند برابر کننده ولتاژ کاربرد برای تلویزیون رنگی

نوشته:

## دکتر مرتضی شهبازی

موسسه علوم و فنون هسته‌ای دانشگاه تهران

## چکیده:

وجود دیودهای چند اتصالی سبب شد تا آخرین مانع در راه ترانزیستوری کردن تلویزیونها پرداشته شود. زیرا با این ترتیب مسئله مربوط به ولتاژ زد لازم برای لامپ تصویر حل نمی‌شد. از نظر بازده مدار و اینکه با سه طبقه بتوان ... ۲۵ ... ولت را از ... ۸۰ ... ولت بدست آمده بوسیله سیم پیچ ترانسفور ماقور بست آورد، سبب شد تا روی زمان تجدید حیات  $R\pi N$  دیودها مطالعه گردد و شرط‌هایی را پیدا کنیم تا بازده این چند برابر کننده حد اکثر باشد.

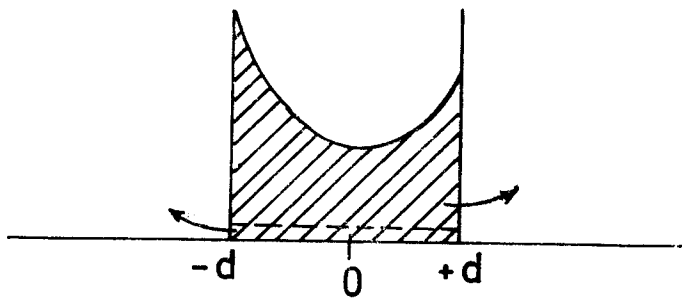
پیش‌گفتار: میدانیم یک عنصر نیم‌رسا ناوقتی ویژه‌گیهای خود را بسته می‌آورد که تراکم حامل‌های آزاد در نقاط مختلفش برقرار شده باشد. این تراکم‌های طبیعی متضاده با لافاصله بعد از عمال یک پالس مستقیم یا معکوس بست نمی‌آیند. زمانی که بین اعمال پالس و ظاهر شدن ویژه‌گیهای عنصر طول می‌کشد، زمان تجدید حیات (Temps de Recouvrement) مینامیم.

## $P\pi N$ دریک دیود

بار انبار شده دریک دیود  $P\pi N$  که بطور مستقیم در مدار بسته شده باشد برخلاف دیودهای  $PN$  که در ناحیه  $N$  وجود پیدا می‌کرد، در ناحیه ذاتی  $\pi$  انبار می‌شود. شکل (۱).

عدم تقارن بارانبار شده در ناحیه  $\pi$  بعلت اختلاف بین قابلیت تحرک الکترونها و حفره‌ها می‌باشد. حال به دیود که بین صورت در مدار وصل شده در لحظه  $t_0$  جریان معکوس  $I_R$  اعمال می‌کنیم و فرض می‌کنیم که مستقل از زمان بوده وازقدار جریان به حال مستقیم نیز بیشتر باشد. درزیر خواهیم دید که تراکم حامل‌ها در ناحیه  $\pi$  اثر بسیاری روی زمان تجدید حیات دیود خواهد داشت. با توجه به خنثائی الکترونیکی یعنی  $n \cong P$  معادله دیفرانسیل زیرا راخواهیم داشت (برای مثال برای  $(n, t)$ ):

این کار در کارخانجات Silec در پاریس انجام گردیده ویرای اولین بار در این نشریه منتشر می‌گردد.



شکل (۱) ناحیه هاشور زده بار انبار شده و خط چنین تراکم را در قسمت  $\pi$  نشان میدهد که قابل چشم پوشی است.

$$L^* \frac{\partial^2 n}{\partial X^2} = n(X, t) + \tau_\pi \frac{\partial n}{\partial t} \quad (1)$$

که در آن  $L^*$  طول پخش دو جانی است و مقدار آن:

$$L^* = \sqrt{2 \cdot \frac{\mu_n \mu_p}{\mu_n + \mu_p} \cdot \frac{KT}{q} \cdot \tau_n} = \sqrt{D^* \tau_n}$$

که در آن  $D^*$  ثابت پخش دو جانی است.

حل این معادله در رژیم ثابت بصورت:

$$n(X, 0) = \frac{\tau_n}{2qL^*} \cdot J_D \left[ \begin{array}{c} \cosh \frac{X}{L^*} \\ \sinh \frac{d}{L^*} \end{array} - B \begin{array}{c} \sinh \frac{X}{L^*} \\ \cosh \frac{d}{L^*} \end{array} \right] \quad (2)$$

که در آن

$$B = \frac{\mu_n - \mu_p}{\mu_n + \mu_p}$$

$J_D$  چگالی جریان جابجایی است و ما توزیع الکترونها را در ناحیه به عنوان شرایط اولیه برخواهیم گزید. با در نظر گرفتن شرایط مرزی

$$\begin{array}{ll} a) J_p(-d, t) = J & b) J_n(-d, t) = 0 \\ c) J_p(+d, t) = 0 & d) J_n(+d, t) = J \end{array} \quad (3)$$

دیده میشود که بارهای انبار شده در ناحیه ای که ناخالصی زیادی در بردارد یعنی  $d < x < -d$  ۰ بل چشم پوشی است.

اینکه جریانی بهمان اندازه ولی درجهت مخالف در نظر میگیریم و شرایط سریزی را برمورد اجراء در میآوریم چگالی جریان حفره ها والکترونها یعنی:

$$J_p(X, t) = q\mu_p \left[ -\lambda \frac{\partial P}{\partial x} + P(x, t)\epsilon(x, t) \right] \quad (4)$$

$$J_n(x, t) = q\mu_n \left[ \lambda \frac{\partial n}{\partial x} + n(x, t)\epsilon(x, t) \right] \quad (5)$$

و شرایط مرزی و خنثائی الکتریکی  $n(x,t) = P(x,t)$  معادله های زیر بدست می آیند :

$$\left( \frac{\partial n}{\partial x} \right)_{x=-d} = -\frac{1}{2} \cdot \frac{J}{q\mu_p \lambda} \quad (6)$$

$$\left( \frac{\partial P}{\partial x} \right)_{x=+d} = \frac{1}{2} \cdot \frac{J}{q\mu_n \lambda} \quad (7)$$

$\frac{KT}{q}$  میباشد .

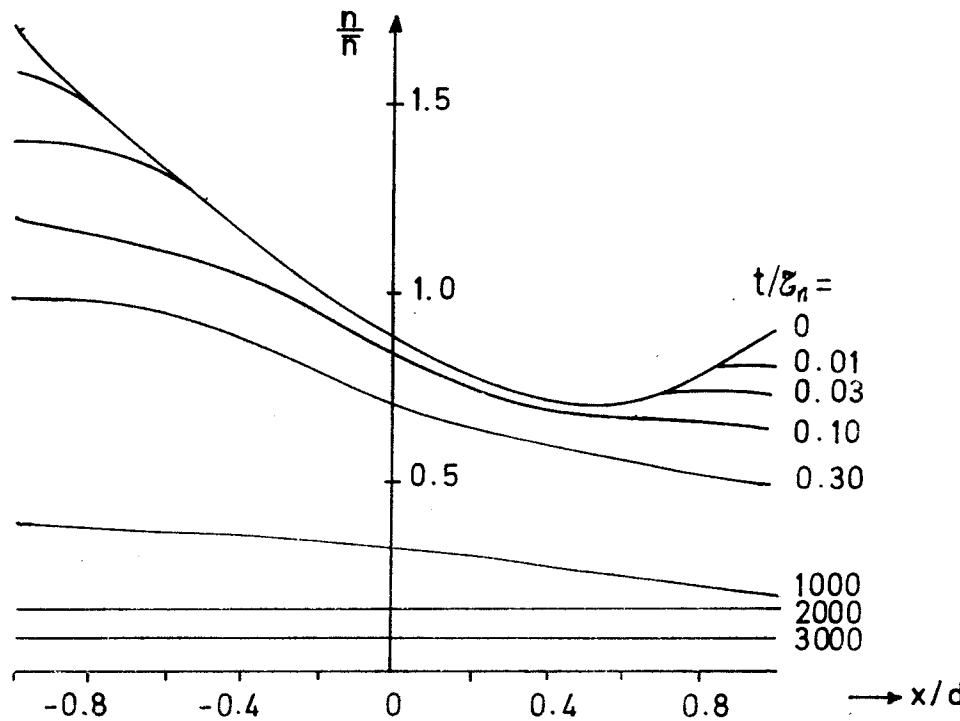
ا بن معادله ها نشان میدهند که وقتی جریان معکوس شروع بگذشتن از دیود را میکند گردیان تراکم در انتهای  $N$  ناحیه  $\pi$  ، بتدریج از یک مقدار ثابت به مقدار منفی میرسد . بهمین ترتیب گرادیان تراکم در انتهای  $P$  نیز تغییر علامت میدهد . در این حالت حل معادله دیفرانسیل (۱)؛ شرایط اصلی (۲) و معادله های (۶) و (۷) بصورت زیر در می آید :

$$\frac{J_D}{J_D + J_R} \cdot \frac{n(x,t)}{n} = \text{Exp} \left( \frac{-t}{\tau_\pi} \right) + 2 \sum_{v=1}^{\infty} \frac{(-1)^v}{1 + (v\pi \frac{L^*}{d})^2} \cdot \cos \left( v\pi \frac{x}{d} \right) .$$

$$\text{Exp} < \left[ 1 + \left( v\pi \frac{L^*}{d} \right)^2 \right] \frac{t}{\tau_\pi} > - \frac{J_R}{J_D + J_R} \cdot \frac{L^*}{\sin \frac{d}{L^*}} \cosh \frac{X}{L^*} -$$

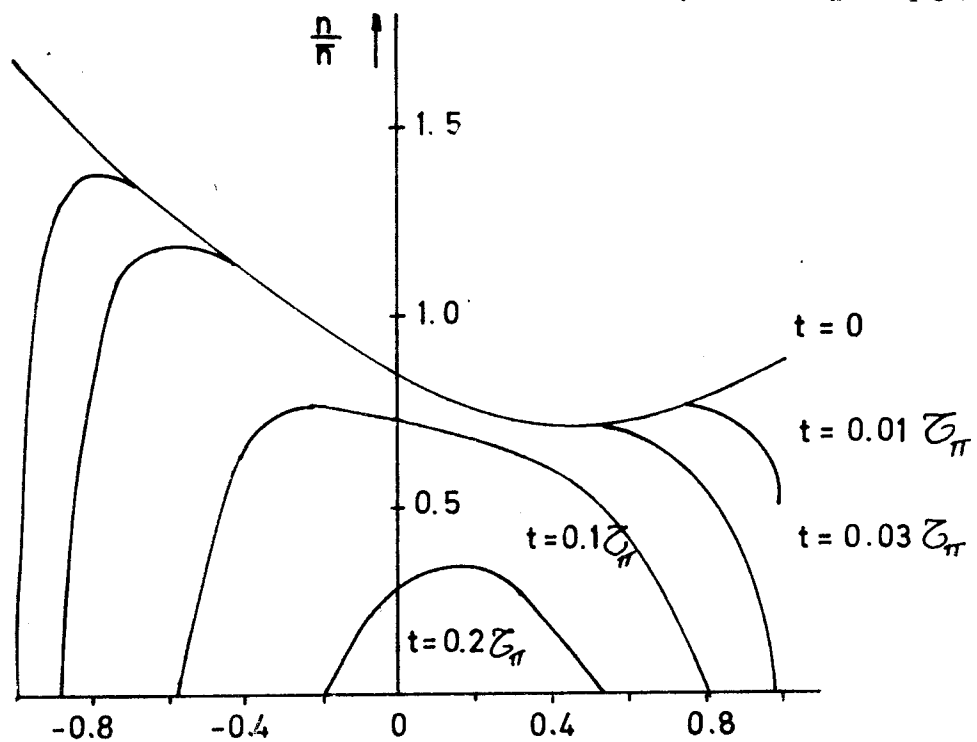
$$B \left\{ 2 \sum_{v=0}^{\infty} \frac{(-1)^v}{\left( v + \frac{1}{2} \right) \pi \frac{L^*}{d}} \sin \left[ \left( v + \frac{1}{2} \right) \pi \frac{x}{d} \right] \text{Exp} \right\} - \left[ 1 + \left( v + \frac{1}{2} \right) \pi \frac{L^{*2}}{d} \right] .$$

$$\text{Exp} < \frac{t}{\tau_\pi} > - \frac{J_R}{J_D + J_R} \cdot \frac{L^*}{\cosh \frac{d}{L^*}} \cdot \sinh \frac{X}{L^*} \quad (8)$$

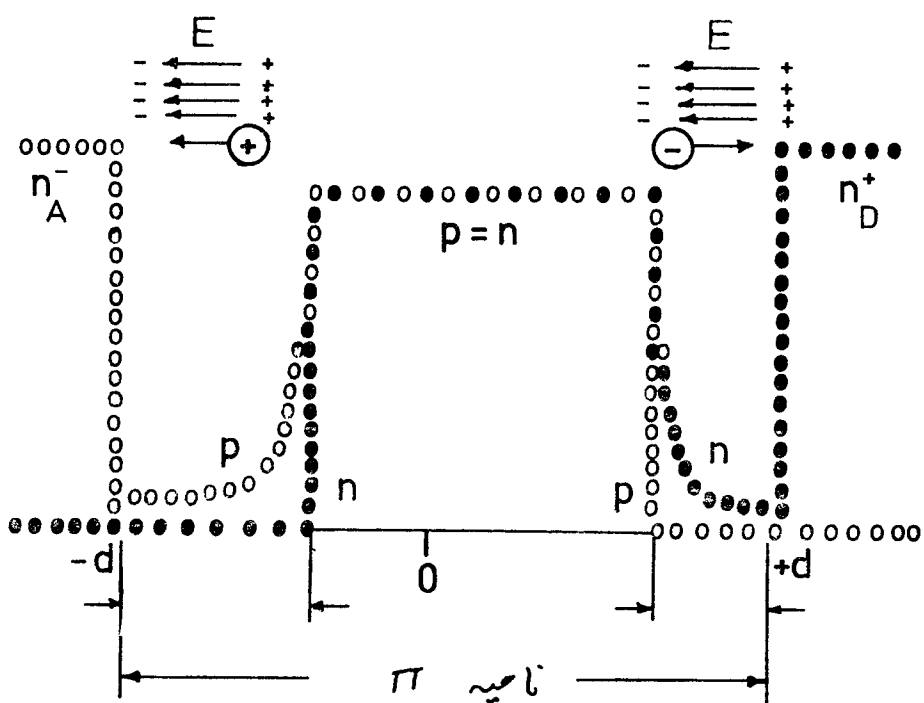


شکل ۲- تخلیه حاملهای انبار شده ناحیه  $\pi$  بوسیله ترکیب مجدد یعنی  $J_R = 0$

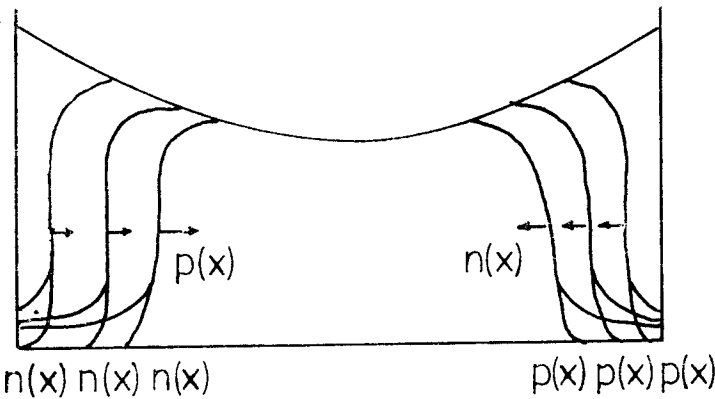
ن تراکم  $\pi$  می‌شد (میانگین شمرش بارهای ابزار شده). رسم اینتابع برای دو حالت  $J_R = 0$  و  $J_R = 10J_D$  و  $\mu_n = 3\mu_p$  و  $2d = L^*$  بنهای  $\pi$  می‌باشد، منحنی‌های زیر بدست می‌آید:



شکل ۳- تخلیه حاملهای ناحیه  $\pi$  بوسیله جریان معکوس خیلی زیاد  $J_R = 10J_D$  در شکل‌های (۴) و (۵) به ترتیب چگونگی توزیع حفره‌ها و پیشرفت بار قوه‌ئی هنگام تخلیه نشان داده شده است.



شکل ۴- توزیع حفره‌ها هنگام تخلیه



شکل ۵- پیشرفت بار فضائی هنگام تخلیه

اینکه فرض کنیم که  $J_R \gg J_D$  باشد در این صورت بواسطه آنکه چگالی جریان مستقیم دقیقاً در مدت یک زمان حیات جایگزین بارانبار شده می‌شود، یک چگالی جریان تخلیه بسیار زیاد با استی بارانبار شده را در مدتی خیلی کوچکتر از زمان حیات حذف نماید در زیر خواهیم دید که چگونه در بعضی از شرایط، زمان حیات برابر زمان تجدید حیات یعنی زمانی که بعد از آن دیود ویژه‌گیوهای حالت معکوس خود را در بر می‌گیرد.

### بهترین مقدار $\tau_{RR}$

شماره کلی حفره‌های (الکترونهای) اضافی در ناحیه  $\pi$  با معادله بار زیر داده می‌شود.

$$\frac{dQ}{dt} = -\frac{Q}{\tau_n} \int \nabla J_p dV \quad (9)$$

که در آن  $P dV$  بار کلی اضافی ناشی از تزریق حفره‌های داخل ناحیه  $\pi$ ،  $\tau_n$  زمان حیات حفره‌ها در ناحیه  $\pi$  می‌باشد. با توجه به نظریه گوین و شرایط مرزی زیر

$$J_n = 0, J_p = J \quad : X = 0$$

$$J_n = J, J_p = 0 \quad : X = \omega$$

برابری (9) بصورت زیر در می‌آید:

$$\frac{dQ}{dt} = -\frac{Q}{\tau_n} + I(t) \quad (10)$$

که در آن  $\frac{Q}{\tau_n}$  جریان ترکیب مجدد و  $I(t)$  جریان کلی که از دیود می‌گذرد می‌باشد. درجهت مستقیم  $I(t)$  همان  $I_D$

است. برای  $t_1 \leq t \leq t_0 + \frac{\pi}{\omega}$  این جریان کلی بصورت زیر نوشته می‌شود:

$$I(t) = I_{D_\pi} \sin \omega(t - t_0) \quad (11)$$

که در آن  $\frac{\pi}{t_1 - t_0}$  است پس :

$$\frac{dQ}{dt} = -\frac{Q}{\tau_n} + I_D \sin \omega(t - t_0) \quad (12)$$

معادله دیفرانسیل درجه اول که حل آن بصورت:

$$Q(t) = \frac{\tau_\pi I_D}{1 + \omega^2 \tau_\pi^2} [ \omega \tau_\pi e^{-\frac{t - t_0}{\tau_\pi}} + \sin \omega(t - t_0) - \omega \tau_\pi \cos \omega(t - t_0) ] \quad (13)$$

در لحظه  $t = t_2$  و  $Q(t_2) = 0$

$$\frac{\tau_\pi I_D}{1 + \omega^2 \tau_\pi^2} [ \omega \tau_\pi e^{-\frac{t_2 - t_0}{\tau_\pi}} + \sin \omega(t_2 - t_0) - \omega \tau_\pi \cos \omega(t_2 - t_0) ] = 0$$

با در نظر گرفتن  $t_2 = t_1 + \tau_{RR}$  داریم

$$\omega \tau_\pi [ e^{-\frac{\pi + \omega \tau_{RR}}{\tau_\pi}} - \cos(\pi + \omega \tau_{RR}) ] = -\sin(\pi + \omega \tau_{RR}) \quad (14)$$

بالفرض اینکه  $\pi/2 \ll \tau_{RR}$  باشد میتوان نوشت.

$$\cos(\pi + \omega \tau_{RR}) = -1$$

$$\sin(\pi + \omega \tau_{RR}) = -\tau_{RR}$$

رابطه (14) بصورت

$$\omega \tau_\pi (e^{-\frac{t_2 - t_0}{\tau_\pi}} + 1) = \omega \tau_{RR}$$

وازنیا:

$$\tau_{RR} = (e^{-\frac{t_2 - t_0}{\tau_\pi}}) \tau_\pi$$

بدیهی است که وقتی  $\tau_\pi \gg (t_1 - t_0)$  باشد جمله نمائی در مقابل قابل چشم پوشی است پس:

$$\tau_\pi (1 + e^{-\frac{t_1 - t_0 + \tau_{RR}}{\tau_\pi}}) = \tau_{RR}$$

وازنیا

$$\tau_\pi = \tau_{RR}$$

برای برداشتن زمان تجدید حیات کوچک باستی زمان حیات حاملها یعنی  $\tau_\pi$  کوچک باشد پس باستی تراکم ناحیه  $\pi$  بمراتب بزرگتر از تراکم نیمه رسانای ذاتی باشد. برای این منظور در ناحیه  $\pi$  طلا پخش نودیم تا زمان تجدید حیات را کاهش دهیم. درجول زیر مشخصه های سه دیود که یکی از آنها دیود شاهد است آورده شده است.

### جدول ۱ اثر مدت طلای پخش شده و درجه حرارت روی زمان حیات

	زمان بر حسب پخش طلا	درجہ حرارت $\theta_{UA}$ (K)	طول پخش $L_n (\mu m)$	زمان حیات $\tau_\pi (\mu s)$
اولین دیود با ناخالص طلا	۰	۸۶۰	۳۰	۰/۳
دومین دیود با ناخالص طلا	۰	۸۷۰	۲۶	۰/۲۳
دیود شاهد	.	.	۲۲/۰	۱۷

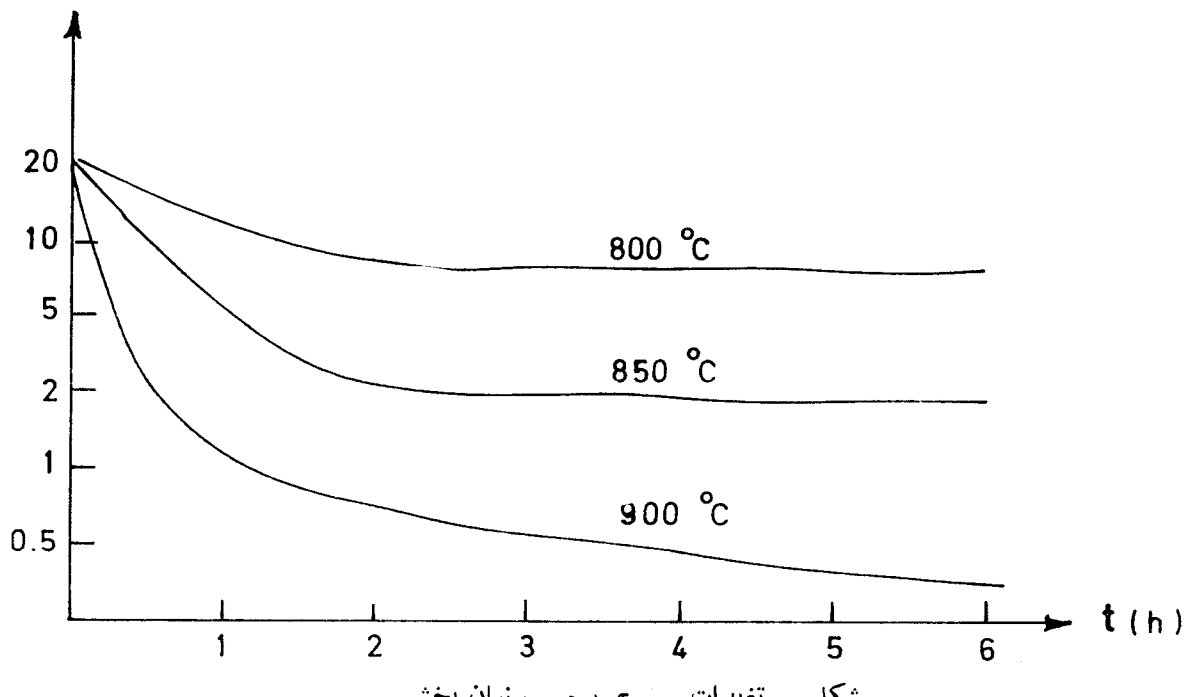
جدول ٢

Rapidité	Capacité PF	V <sub>S</sub> KV	Haut mA	Larg μS	Haut mA	Larg μS
Standard (P)	117	7,85	90	0,48	100	0,48
	500	8,05	180	0,5	150	0,45
	2500	8,15	150	0,57	200	0,45
	5000	8,2	180	0,55	200	0,45
325 °C (P)	117	8,40	120	0,39	50	0,25
	500	8,6	110	0,33	50	0,24
	2500	8,75	100	0,45	50	0,23
	5000	8,78	100	0,45	50	0,22
835 °C (P)	117	8,48	140	0,39	50	0,26
	500	8,50	125	0,40	50	0,25
	2500	8,75	100	0,43	50	0,22
	5000	8,78	100	0,43	50	0,22
850 °C (P)	117	8,6	110	0,37	32	0,16
	500	8,78	100	0,38	30	0,16
	2500	8,8	90	0,41	30	0,15
	5000	8,8	90	0,41	30	0,14
900 °C (P)	117	8,68	95	0,36	8	0,09
	500	8,85	90	0,38	8	0,09
	2500	8,82	80	0,42	8	0,1
	5000	8,8	80	0,45	8	0,1
850 °C (n)	117	8,63	95	0,35	35	0,14
	500	8,8	95	0,36	35	0,13
	2500	8,8	95	0,38	36	0,13
	5000	8,8	100	0,36	36	0,13
860 °C (n)	117	8,65	95	0,34	20	0,08
	500	8,85	85	0,38	20	0,09
	2500	8,75	80	0,38	20	0,1
	5000	8,7	80	0,40	20	0,12
875 °C (n)	117	8,65	90	0,34	15	0,08
	500	8,72	85	0,35	15	0,08
	2500	8,8	85	0,37	17	0,11
	5000	8,82	85	0,37	17	0,12

جدول ۲

$D_2$	$C_2$	Standard	$825^{\circ}\text{C}$	$835^{\circ}\text{C}$	$850^{\circ}\text{C}$	$900^{\circ}\text{C}$
Standard	117	14.2	15.2	15.2	15.2	15.2
	500	14.6	16	16	16	16
	1250	15.0	16	16	16	16.2
$825^{\circ}\text{C}$	117	14.8	15	15	15.2	15.4
	500	15.4	15.6	15.6	15.8	16.4
	1250	15.6	15.8	16	15.8	16.4
$835^{\circ}\text{C}$	117	14.8	15.2	15.2	15.2	15.4
	500	15.3	15.5	15.6	16	16.2
	1250	15.5	15.8	16	16	16.4
$850^{\circ}\text{C}$	117	15.2	15.4	15.2	15.4	15.4
	500	15.6	15.8	15.8	16	16.2
	1250	15.6	16	16	16	16.4
$900^{\circ}\text{C}$	117	15.2	15.4	15.2	15.4	15.4
	500	15.6	16	16	16	16.4
	1250	15.6	16	16	16	16.4

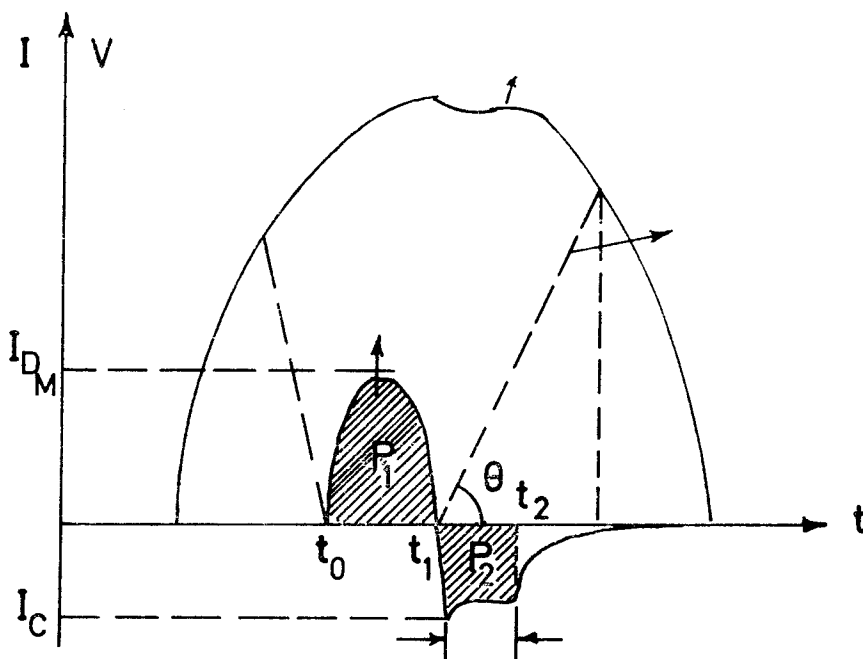
چنانکه در منحنی های شکل ۷ نیز دیده می شود  $\tau$  بازیاد شدن درجه حرارت و همچنین زمان پخش، کوچکتر می گردد.



مطالعه تلف انرژی در تبدیل (حالت یک سه برابر کننده).

در شکل (۸) چگونگی ایجاد جریان و ولتاژ دریکی از دیودهای چند برابر کننده نشان داده میشود:

حالت احتمال رشد



شکل ۸- چگونگی وجود ولتاژ اعمال شده و جریان عبور داده شده در دیود  $P\pi N$  در مدار یک سه برابر کننده ولتاژ.

در شکل ۸،  $P_1$  و  $P_2$  بترتیب توانهای منتقل شده و توان تلف شده میباشند. که

$$P_1 = V_F A \quad (17)$$

که در آن  $A = \int_{t_0}^{t_1} idt$  میباشد

و

$$P_2 = I_c \alpha \int_{t_1}^{t_2} (t - t_1) dt$$

که در آن  $\alpha = \frac{V}{t - t_1}$  بوده و بعد از انتگرال گیری و تغییر متغیر  $t_1 - t$

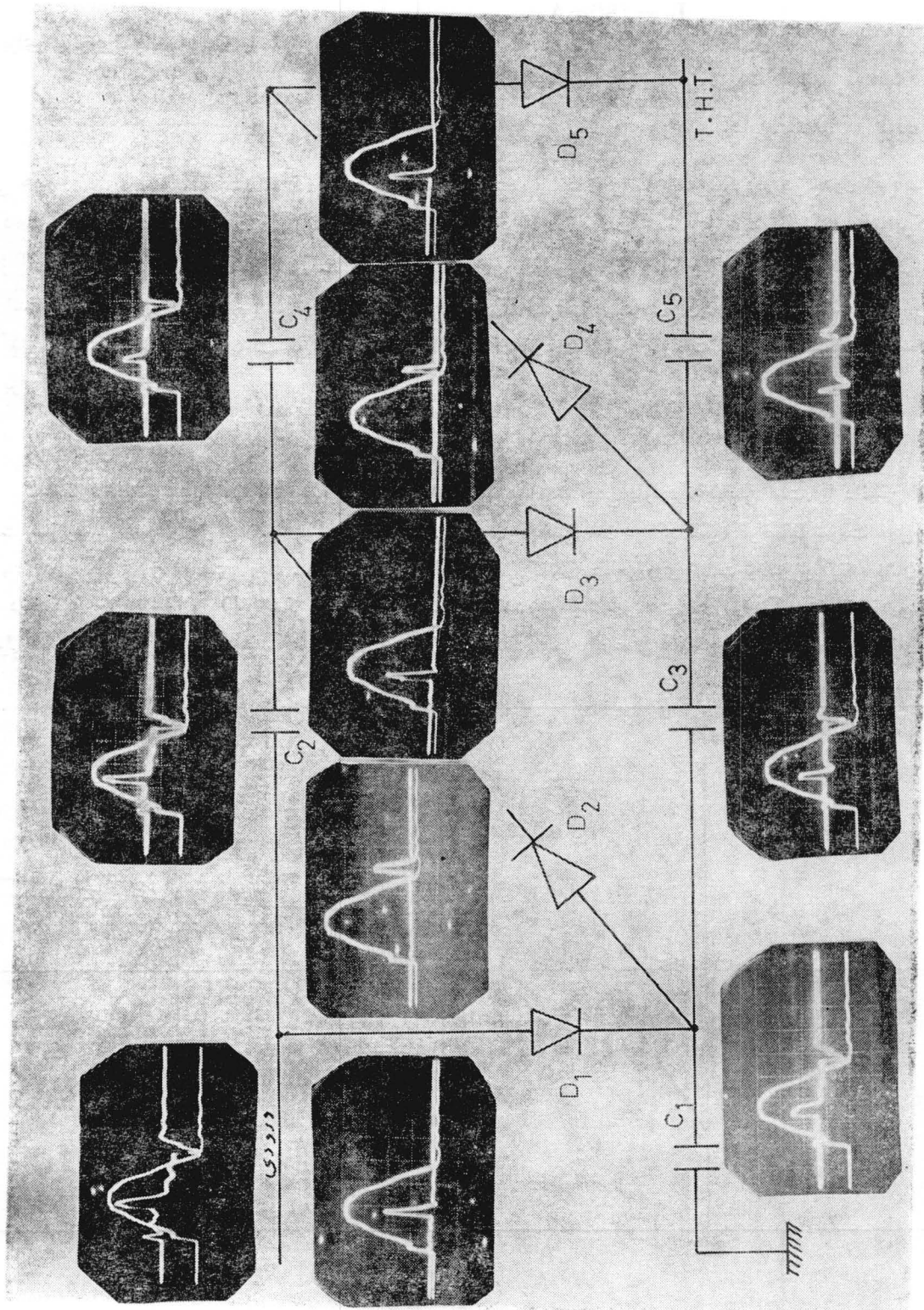
$$P_2 = \frac{1}{2} \cdot I_c \alpha \tau_{RR}^2$$

دیده میشود که توان مصرفی با توان دوم  $\tau_{RR}$  بستگی پیدا میکند.  
برای یک دیود کند معمولی داریم:

$$\alpha \approx 2000V/\mu S$$

$$I_c = 150mA$$

شكل (٤)



$$\tau_{RR} = 0,45 \mu S$$

$$I_R = 180 mA$$

که برای توانهای خواهیم داشت:

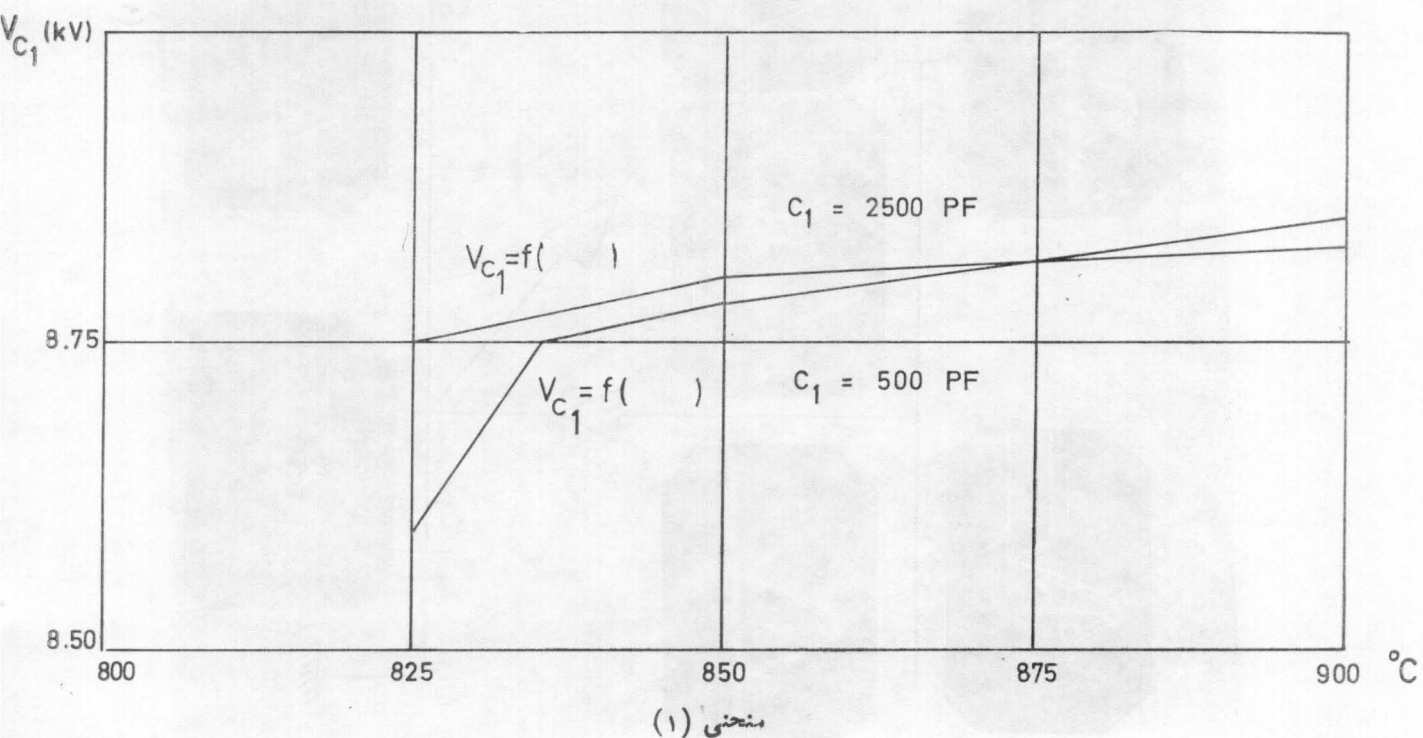
$$P_1 = 28.8 mW$$

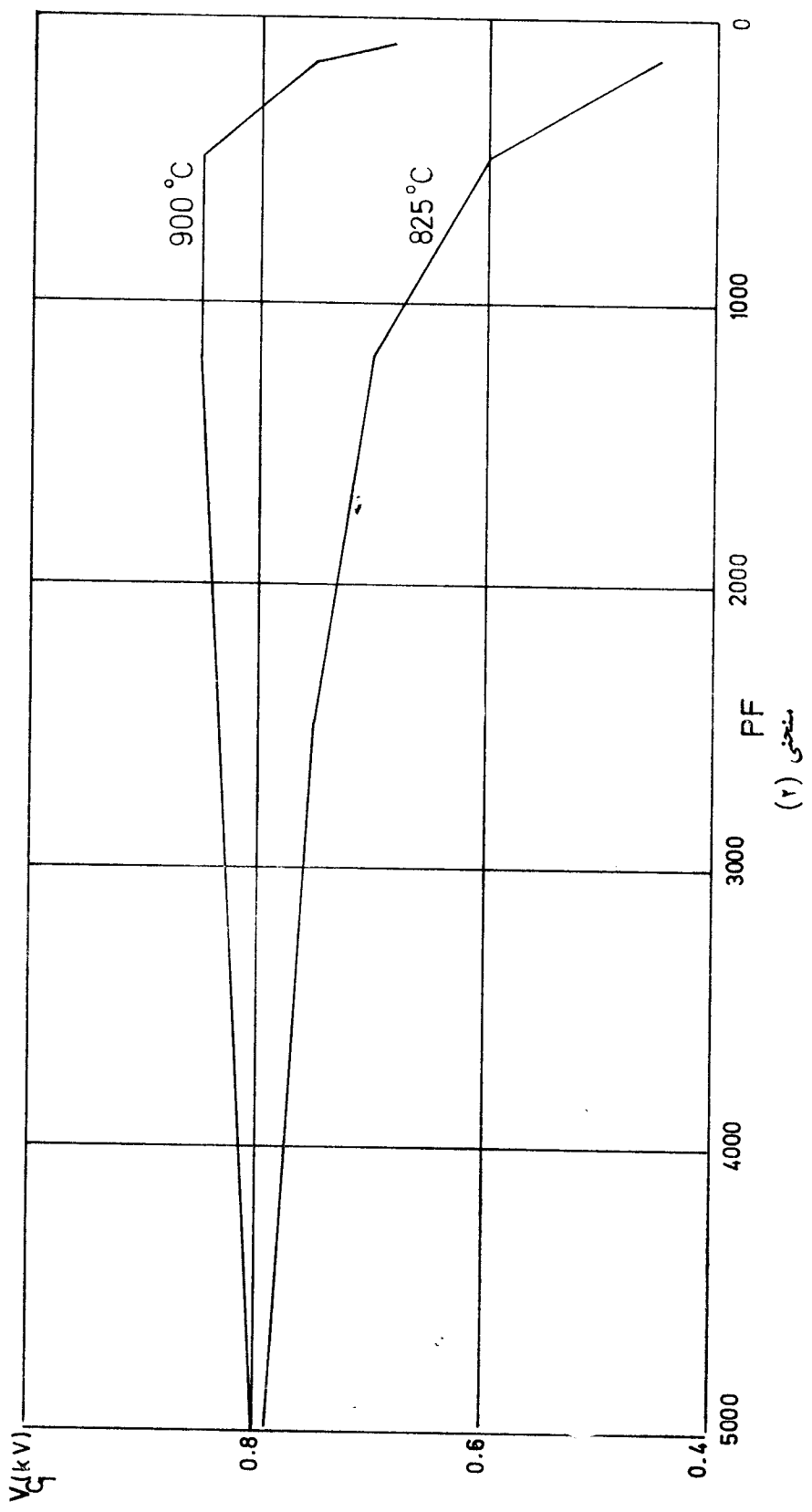
$$P_2 = 0.37 mW$$

یعنی هرچه  $\tau_{RR}$  کوچکتر باشد توان مصرفی نیز کوچکتر شده و بازده قابل ملاحظه میگردد. در جدول (۲) سرعت دیودهای مختلف برحسب ظرفیت ولتاژ خروجی، ارتفاع و بهنای پالس بدست آمده روی طبقه اول یک سه برابر کننده ولتاژ آورده شده است. در جدول (۳) سرعت دیودهای طبقه دوم و سوم سه برابر کننده ولتاژ برحسب ظرفیت نشان داده شده است. در منحنی های (۱) و (۲)  $V_{C1}$  برحسب مقدارهای  $C_1$  و سرعت دیود  $D_1$  آورده شده است در منحنی (۳) و (۴)  $V_s$  کلی برحسب  $(G_1)$  بابار و بدون بار نشان داده شده اند. بالاخره در شکل (۹) جزئیات جریان و پتانسیل نقاط مختلف چند برابر کننده نموده شده است.

### نتیجه گیری

با مطالعه روی زمان تجدید حیات پیدا نمودیم که در چه شرایطی بازده رضایت‌خشن است. با دانستن اینکه سرعت عمل یک دیود  $P\pi N$  به ناحیه مرکزی  $\pi$  بستگی دارد با پخش طلا در این ناحیه توانستیم سرعت عمل را بالا ببریم، که منحنی ها وجودهای آورده شده جزئیات امر را روشن می‌کنند. مطالعه روی طبقات چند برابر کننده نشان داد که دیودهای  $D_1$  و  $D_5$  باستی دیودهای سریع العمل باشند در صورتی که دیودهای  $D_2$  و  $D_4$  می‌توانند از دیودهای معمولی انتخاب شوند. بالا خرده دیدیم که دیود  $D_1$  و خازن  $C_1$  نقش مهمی را در عمل چند برابر کننده عهده‌دار هستند.





## منابع

- 1 – Oscillateur à relaxation  
M.Sauzade. pp. 193 – 197  
Dunod Université 1970
- 2 – Reverse recovery processes in silicon power rectifiers hansjochen benda a nd ebrhard spenka proceedings of the IEEE, Vol. 55 No. 8 August 1967.
- 3 – Correlation between recovery time and lifetime of P—N junction driven by a current ramp.  
Yuc. KAO and John R. Davis  
IEEE transactions on electron devices. Vol. ED – 17 No. 9 Sept. 1970.
- 4 – Role des couches extrèmes dans la caractéristique directe V.I. des diodes de puissance du type PIN.  
J. Aronould. L'ond électrique Nov. 1970.